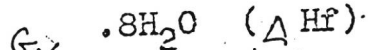
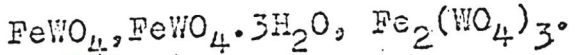
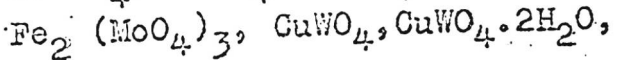
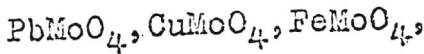




W-Fe

VII 1057

1925



Tammann, Westerhold Jr.

21-98

Z. anorg. Chem. 149, 35 (1925)

Circ. 500

M.

ECTE ϕ. M.

FeWO₄,

VII 2301

1951

Fe₇W₆(Kp)

Резукхина Т.Н., Симанов И.Н., Герасимов Я.И.

Rezukhina T.N., Simanov Y.P.,

Герасимов Я.И.

Zhur. Fiz. Khim., 1951, 25, 305-11

Thermodynamics of rare metals.III.
Equilibrium between iron tregstate and
hydrogen.

M,

CA, 1951, 6905h

1953

CaMoO_4 , CaMoO_3 , M_7W_6

VI-1694

(ΔH , ΔS , K_p)

MgWO_4 , CaWO_4 , MnWO_4 , MnO , Fe_7W_6 , NiWO_4 , Ni_4W , WO_2 .

Gerasimov. Y. I.

Doklady Mezhdunarod. Kongr. Teoret., Priklad.
Khim. XII Kongr., Stockholm 1953, 77-104.

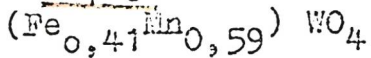
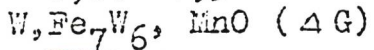
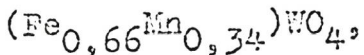
Thermodynamic properties of tungstates of
bivalent metals (and of calcium molybdate)

M, W,

F CA, 1954, 4941b

еслиб оп. к

VII 687 1957



Куртакова Р.Д., Герасимов Я.И.

Ж.Физ.химии, 1957, 31, № 5, 996-1001.

Равновесие твердых растворов $(\text{Fe}_x\text{Mn}_{1-x})\text{WO}_4$

с водородом.

РХ., 1958, 7120

М

$MgWO_4$, $CaWO_4$, S_2WO_4 ,

VII 986 1957

B_2WO_4 , $MnWO_4$, $CoWO_4$,

$FeWO_4$, $NiWO_4$, $CuWO_4$, $ZnWO_4$,

$CdWO_4$, $PbWO_4$ (Hf, Sf)

Герасимов Я.И., Резухина Т.Н.,
Симаков Ю.П., Васильева И.А., Куршакова Р.Д.
Вестн. Моск. ун-та. Сер. матем., механ., астрон.,
физ., химии 1957, №4, 185-200.

RF, 1958, N18, 60133. M,

есТЬ Ф.К.

VII 3275

1957

FeW_x, CoW_x (T_{tr})

Van Reuth Edward C.U.S. Air Force.,

Air Res. and Developm. Command.

Wright Air Developm Center. Mater.

Lab., Wright Patterson Air force

Base, Dayton, Ohio, 1957, 29pp., ill

" Intermediate phases in the iron-tungsten
and cobalt-tungsten binary systems "

PM, 1959, 3548

f, Au Heu 65-ke

1958

HfCo₂, HfCr₂, HfFe₂, HfMn₂, A-905
HfMo₂, HfV₂, HfW₂, NbCo₂, NbCr₂,
NbFe₂, NbMn₂, TaCo₂, TaCr₂, TaFe₂, TaMn₂,
TiCo₂, WFe₂, ZrCo₂, ZrCr₂, ZrFe₂ · ZrMn₂,
ZrMo₂, ZrV₂, ZrW₂ (Tm)

Elliott R.P., Rostoker W.

Trans. Amer. Soc. Metals. Vol. 50, Cleveland.
Amer. Soc. Metals, 1958, 617-632. Discuss., 632-33
The occurrence of laves-type phases among
transition elements.

RX., 1959, 14341,

Be.

LCF6 Q.K.

W-Fe-O

1958

Koszakov H.D.

Изображ. № 1
Уральский УН-т, Челябинск 1958

Исследование высокотемпературных
過程ов W, Mo и никелевых
бикомпонентных сплавов Fe с W и Mo.

VII 4455

1959

MnWO₄-FeWO₄ (a,δ,e)

starke R.

Bergakademie, 1959, II, N1, 23-25

Mr

lett qk

(Fe, Mn)WO₄ VII-4308 1961

Kumar M. N

(a,b,c) J. Geol., Mining and
Metallurg. Soc. India,
1961, 33, 131

VII 1417

1962

Co_7W_6 , Fe_7W_6 (Cp)

Свободина З. В., Резухина Т. Н.
Ил. жур. химии, 1962, 36, № 8,
1749 - 1750.

РХЛ, 1963,

125391.

Зема опр.
Б.

Fe W O₄

Kernmann W. egp. [1963]
J. Phys. and Chem. Solids,
24, N12, 1535

(all. FeAl₂O₄) I

VII 4307

1963

FeWO₄, FeMoO₄, FeNb₂O₆, PbO₂
(Kp - esp)

Zaver F., Bayer G., Panagos A.

Schweiz. mineral. und petrogr. Mitt.
1963, 43, N 1, 217-234



MH

ECTS d. H.

VII 4377

1964

Fe₆W₆C (Kp. cr.)

Zeciejewicz J.,

J. Less-Common Metals,

1964, 7, n₄, 318-319



the

lewis q.k

Fe - W
сплав

P_{Fe}, m. g.

Насыщиков А.И.
Трапп Г.
ИСФХ,
39, №, 356

1965

Исследование чередующихся
металлических слоев в никель-рибах
сплавов Fe в зависимости
от области.



(См. Fe - Ti) I

VII 4523

1965

W₂FeB₂, W₂CoB₂, Mo₂CoB₂
(kp. emp.)

Rieger W., Novotny H., Benesovsky F.,
Monatsh. Chem., 1966, 97, N^o 2, 378-382

Mr.

leto op. K.

Fe_2WO_6

Маричев В.К.,
Кобоа А.Н.

1966

Уф. АИ СССР, Челябинск. лаб. 10,
2, № 1, 15'

Блестящий синий прозрачный
оксид Fe и W с окислами
 $\text{Fe}(\text{III})$ и $\text{Ce}(\text{III})$

($\text{Ce. Cr}_2\text{WO}_6$) I

ommun 2734

Fe₄W₀O₄

Weller W. W. 1966, 14 pp., 1966
(Bull-RI-6782)

Fe₄Mo₀O₄ (Bureau of Mines, Calif. Thermo. anal.)

Cp, SS

low-temperature heat capacities and entropies at 288,45°K of ferrous molybdate and ferrous tungstate (cu. Fe₄Mo₀O₄)I

Y4/33

H

VII

Y4/33 Ternary system

8.0% (57-288,45°K). Solubility up to 298%

Fe₄Mo₀O₄ + Fe₄W₀O₄

ecuado 30,9 mas/200 cm² n(FeMoO₄)

η 31,5 mas/200 cm² - FeMoO₄

Fe_7W_6 ; Fe_2W (Energ. CTP-PA
Tet) VII 3881
1964

Sinha et. al., Flame - Rothery W.,
J. Iron. and Steel Inst., 1964,
205, NII, 1145 - 1149

ECTL Q. K.

PM 1968

B, Au, Mu

Fe₂W₆; Fe₂W (Крист. ст. - PA VII 3881
Ter) 1967

Sinha et. al., Hume - Rothery W.,
J. Iron. and Steel Inst., 1967,
205, NII, 1145-1149

ЕСТЬ Ч. Н.

РМ 1968

Б, Аи, Ми

Fe - W

Debrovin S. S.

1969

Chirkov N. S.

Bushnev A. P.

SHf

Sl. Tr. Klyuchevskogo Zavoda
Ferrosplavor; N4, 45-52.

(Cu. Ca - W) I

Fe-W

Dubrovin, A.S.,
Chirkov, N. ~~A.~~
Bushuev, A.P.

1969

(ΔHf)

"Sb. Tr. Klyuchevskogo Zavoda
Ferrosplavor", 1969, №4,
45-52.



(c.c. Ca-W, T)

1969

Fe WO₄

Westrum E.F. et al.

5TT, 1969, N12, 34 cip.

Gp 5 -350°K

1970

FeWO₄

(134864a) Hydrothermal synthesis of iron(II) tungstate crystals. Klevtsov, P. V.; Novgorodtseva, N. A.; Kharchenko, L. Yu. (Inst. Neorg. Khim., Novosibirsk, USSR). *Kristallografiya* 1970, 15(3), 609-10 (Russ). A comparative anal. of the result of the hydrothermal synthesis of FeWO₄ crystals showed that the best solvent is LiCl. The best results were obtained in 30% solns. for a compn. corresponding to Fe₂O₃.WO₃ at 575° and a autoclave filling coeff. of 0.6. The lattice parameters were the same in every case ($a = 4.71 \pm 0.02$; $b = 5.71 \pm 0.02$, $c = 4.94 \pm 0.02$ Å, $\beta = 90^\circ$). No replacement of Fe by Li was found. The thermographic anal. of the FeWO₄ crystals showed a m.p. of 990°. The compd. melts without decompn. and no polymorphic transitions were obsd. GLJR

C.d. 1970. 73.26

Fe WO₄

Westrum R.F. et al. 1970

Cp 5- 380K

BTT, N13, CP. 28

FeWO₄

1942

Fe₂WO₆

(4C_T)

93712m Phase equilibria and thermodynamics of iron-molybdenum-oxygen and iron-tungsten-oxygen ternary systems. Schmahl, Norbert G.; Dillenburg, Helmut (Inst. Phys. Chem., Univ. Saarlandes, Saarbruecken, Ger.). *Z. Phys. Chem. (Frankfurt am Main)* 1972, 77(1-6), 113-26 (Ger). Systems Fe-Mo-O and Fe-W-O were studied at 900° by a degradation technique using the CO-CO₂ equil. The compd. Fe₄Mo₆O₁₆ forms solid solns. with MoO₂. Fe₃Mo₂ is not obsd. and existence of FeMoO, Fe₃Mo₃O, FeMoO_x, and FeMoO₃ is doubtful at this temp. The activities in Fe₃O₄-Fe₂MoO₄ solid solns. were calcd. In the binary W-O system WO₃, WO_{2.75}, and WO₂ are formed without homogeneity ranges. FeWO₄ dissolves 32 mole % Fe₃O₄ at 900°. The solv. of W in Fe is 3 atom %. FeWO, Fe₃W₂O, and FeWO_x were not obsd. The system Fe₃O₄-FeWO₄ deviates from the Raoult's law. ΔG_{1173}° for the reactions 2FeO + WO₃ = FeWO₄, FeO + WO₃ = FeWO₄, and Fe₂O₃ + WO₃ = Fe₂WO₆

are -0.8 ± 0.8 , -10.3 ± 1.2 , and -22.8 ± 5.6 kcal/mole, resp.

Friedrich Epstein

C.H.

1942.47.14

Fe_2WO_6

1972

157311q New type of crystal structure for AB_2O_6 phases.
Tri-(α - PbO_2)-type phases. Galy, Jean; Senegas, Jean (Serv. Chim. Miner. Struct., Univ. Bordeaux I, Talence, Fr.). *C. R. Acad. Sci., Ser. C* 1972, 275(13), 665-8 (Fr). The crystallographic parameters of orthorhombic Fe_2WO_6 (incongruently m. 1130°), which has the tri-(α - PbO_2)-type structure which is analogous to the trirutile-type structure, are: $a = 4.576$, $b = 16.766$, $c = 4.967 \text{ \AA}$, $d_{\text{exptl.}} = 6.70$, $Z = 4$, $d_{\text{calcd.}} = 6.82$, space group $Pbcn$. The cation distributions in Fe_2WO_6 (prepd. by heating $\text{Fe}_2\text{O}_3 + \text{WO}_3$ in a sealed Au tube at 850° for 24 hr) indicated that the formula is $\text{Fe}[\text{FeW}] \text{O}_6$. The relations between the lattice parameters of the tri-(α - PbO_2)-type columbite-like phases AB_2O_6 and those of α - PbO_2 are: $a \approx a(\alpha\text{-}\text{PbO}_2)$, $b \approx 3b(\alpha\text{-}\text{PbO}_2)$, $c \approx c(\alpha\text{-}\text{PbO}_2)$.

(T_m)

C.A. 1972. 77, N^o24.

FeO·WO₃ (78)

1973

Barin I., et al

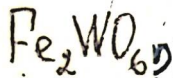
298-1500

mod I, aux. 30%



(all AgF) I

1973



14 Б442. О двух ромбических фазах Fe_2WO_6 . Ragnet Colette, Mme, Bernier Jean-Claude, Michel André. Sur deux formes orthorhombiques de Fe_2WO_6 . «С. р. Acad. sci.», 1973, C276, № 6, 495—497 (франц.)

Рентгенографически (метод порошка) изучены две фазы Fe_2WO_6 , полученные диффузией в тв. состоянии из смеси окислов в эквимолек. кол-вах, прокаленных в течение 48 час. при 800° (I) и при 950° (II). Обе фазы ромбич. симметрии, причем I — фаза типа колумбита а II — сверхструктурная. II может быть также получена нагреванием I при 900° . Параметры решетки I $a = 13,736$, $b = 5,592$, $c = 4,969 \text{ \AA}$, II $a' = 13,749$, $b' = 16,793$, $c' = 9,958 \text{ \AA}$, ($a' \neq a$, $b' \neq 3b$, $c' \neq 2c$). Обе фазы парамагнитны до 77°K . Константа Кюри 8,80. Приведены значения I и d рентгенограмм порошка.

З. В. Пудовкина

Константа
Кюри;
параметр
решетки

Х. 1973 № 14

41009.6033

40891

02 1974

Ch, Ph, TC

FeWO₄ (cp) * 45-6601.

Lyon William G., Westrum Edgar F., Jr.

Heat capacities of zinc tungstate and
ferrous tungstate from 50 to 550 K⁸.

"J. Chem. Thermodyn.", 1974, 6, N8, 763-780

(авт. ZnWO₄, I) (англ.)

0207 ник

173. 175 199

ВИНИТИ

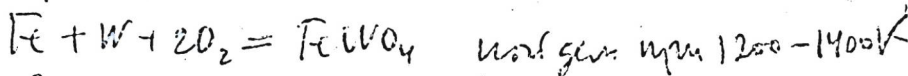
FeWO₄ - Ue zge wren FeWO₄, Fe₃W₂, W | 0 | FeO, Fe
1974

FeWO₄, Fe₃W₂, FeW | 0 | FeO, Fe

FeWO₄, Fe₃W₂, FeW | 0 | FeO, Fe

mpm 1200 - 1400 K Fe₂W, Fe₃W | 0 | FeO, Fe

gr. p. Prozess



$$\Delta G^{\circ} (\pm 0,18 \text{ kJ/mol}) = -268,2 (\pm 0,9) + 68,47 (\pm 0,83) \times 10^{-3} T$$

$$\Delta H^{\circ} \text{ 298} = -272,5 \pm 1,4 \quad \text{kJ/mol, mpm}$$

$$\Delta C_{298}^{\circ} = -250,16 (\pm 1,7) \text{ J/mol K, mpm}$$

$$\left(S^o_{\text{TeV}0_4}\right)_{208} = 37,2 \pm 1,5 \text{ kor}$$

~~up to now~~

C.S. Mejia no original A.H.Y. (C.P.)
info Hagaoka Dyzina (B. aeropus)
T.H. Peryximow & T.A. Kauwita

Fe - боросфасцамор

1974

(cp)

Westrem E.F.; Jr;
Nucl. Sci. Abstr., 1974,
30 (8), 20785



(cer U-fs; I)

Fe WO₄

Касина Г.А.

1976

"Периодическая исследование
некоторых сплавов и кристаллогра-
фических фаз на основе вольфрама
и синтеза"

Автореферат диссертации на соче-
тание ученой степени КХН.

Fe₂W, Fe₃W₂ Кашин Т.А. 1976

Fe₂Mo, Fe₃Mo₂ „Периодические
иссл. некоторых сплавов и
химородосодержащих фаз на
основе феррофракция и молебде-
ниа.

ΔG_{f,T}

ΔH_{f,T}

ΔS_T

Автор реферат на соискание
уч. степени КХН.

Fe WO_4

1976

Кашин Тимофеев Айзеншт.

ΔGf_{298}

ΔHf_{298}

$S_{298,5}$

Периодическая исследование
"влияние некоторых сплавов и
кислородосодержащих фаз на
основе флюорита и молиб-
дена.

Автореферат на соискание
ур. степени к.х.н.

Fe_2W , Fe_3W_2 , FeWO_4

1976

85: 52575r Thermodynamic properties of iron-tungsten (Fe_2W , Fe_3W_2), and iron(II) tungstate: galvanic cell measurements using solid-oxide electrolyte. Rezukhina, T. N.; Kashina, T. A. (Chem. Fac., Moscow State Univ., Moscow, USSR). *J. Chem. Thermodyn.* 1976, 8(6), 519-23 (Eng). The e.m.f.'s of galvanic cells with solid-oxide electrolyte were used to obtain the std. Gibbs energies of formation of Fe_2W , Fe_3W_2 , and FeWO_4 from 1200 to 1300°K, and of $\text{Fe}_{0.96}\text{W}_{0.04}$ were 1325 to 1400°K. The results were used to derive std. enthalpies and entropies of formation of Fe_2W [12023-43-7], Fe_3W_2 [12160-27-9], and FeWO_4 [13870-24-1].

ΔG_f , ΔH_f ,
 ΔS_f .

Oct 1976 26.56

C.J. 1976. 85. N8

Fe_2W

Октябрь 8656

1976

Fe_3W_2

$FeWO_4$

22 Б693. Термодинамические свойства Fe_2W , Fe_3W_2 и $FeWO_4$, измеренные методом э. д. с. с твердым окисным электролитом. Rezukhina T. N., Kashina T. A. Thermodynamic properties of Fe_2W , Fe_3W_2 , and $FeWO_4$: galvanic cell measurements using solid-oxide electrolyte. «J. Chem. Thermodyn.», 1976, 8, № 6, 519—523 (англ.)

Методом э. д. с. с тв. электролитом (ThO_2)_{0,85} ($LaO_{1,5}$)_{0,15} (ТЭ) измерены $\Delta G_{обр}$ Fe_2W , Fe_3W_2 , $FeWO_4$. Использованы гальванич. цепи $FeWO_4$, Fe_3W_2 , $Fe_{0,96}F_{0,04}$ | ТЭ | $Fe_{0,947}O$, Fe (1323—1397° K), $FeWO_4$, Fe_2W , $Fe_{0,975}W_{0,025}$ | ТЭ | $Fe_{0,947}O$, Fe (1209—1307° K), $FeWO_4$, Fe_3W_2 , Fe_2W | ТЭ | $Fe_{0,947}O$, Fe (1200—1312° K) и $FeWO_4$, Fe_3W_2 , W | ТЭ | $Fe_{0,947}O$, Fe (1201—1294° K). Для р-ций $2Fe + W = Fe_2W$ $\Delta G = -(5,48 \pm 0,57) + (3,13 \pm 0,46) \cdot 10^{-3} T$ ккал/моль, (1200—1300° K), $3Fe + 2W = Fe_3W_2$ $\Delta G = -(3,998 \pm 1,27) + (1,064 \pm 0,75) \cdot 10^{-3} T$ ккал/моль (1200—1300° K), $Fe + W + 2O_2 = FeWO_4$ $\Delta G = -(268,17 \pm 1,16) + (68,44 \pm 0,95) \cdot 10^{-3} T$ ккал/моль (1325—1300° K), $0,96Fe +$

$\Delta H_f, \Delta G_f, S$

Х. 1976 № 22

$+0,04W = Fe_{0,96}W_{0,04}$ $\Delta G = -(0,095 \pm 1,9) - (0,11 \pm 1,4) \cdot$
 $\cdot 10^{-3} T$ ккал/моль (1325—1400° К). С использованием
лит. данных по C_p вычислены $\Delta H_{обр}$, и $\Delta S_{обр}$, при 298 К:
 Fe_2W — $1,82 \pm 0,75$ ккал/моль и $-0,19 \pm 0,6$ э. е.;
 Fe_3W_2 $0,476 \pm 1,5$ ккал/моль и $3,40 \pm 1,0$ э. е.; $FeWO_4$
— $276,77 \pm 2,0$ ккал/моль и $-81,47 \pm 1,8$ э. е. Полученное
из данных э. д. с. значение $S(FeWO_4) = 30,9 \pm 2,0$ э. е.
удовлетворительно согласуется с величиной $31,61 \pm$
 $\pm 0,05$ э. е., найденной из низкот-рных измерений тепло-
емкости.

Л. Резницкий



Fe_3W_2 (Tb.)

1977

Barin I., et al

298-1300 : mon II, cmp. 263

• (cuse Ag) I

$\text{Fe}_x \text{WO}_3$

1974

$\text{Co}_x \text{WO}_3$

Ekestrom Th; et al.

$\text{Ni}_x \text{WO}_3$

J. Solid State Chem.

1974, 22(3), 331-40

(Kerad.)



(cav. Max WO_3 ; ?)

AgFe(WO₄)₂

1977

Макаров В.Н. и др.

Ж. геогр. земл., 1977,
22, №2, 3241-3244

сверху

coll. AgFe(WO₄)₂ -?

1974

Fe₂W₆ 23 Б549. Нейтронографическое изучение магнитной структуры Fe_2WO_6 . Pinto H., Melamud M., Shaked H. Magnetic structure of Fe_2WO_6 , a neutron diffraction study. «Acta crystallogr.», 1977, A33, № 4, 663—667 (англ.)

Проведено нейтронографич. (съемка порошка при 300°K , т-ре жидк. азота 177 и 77°K , т-ре жидк. гелия $4,2^\circ\text{K}$, $\lambda 2,4\text{\AA}$, уточнение МНК атомных позиций и т-рных параметров; установление зависимости магнитной восприимчивости χ от т-ры T) изучение магнитной структуры соединения Fe_2WO_6 (структурный тип — сверхструктура к $\alpha\text{-PbO}_2$): $a 4,576$, $b 16,766$, $c 4,967\text{\AA}$, $Z=4$, ф. гр. $Pbcn$. При 300°K мотив крист. структуры, найденный нейтронографически, совпадает с определенным ранее рентгенографически (Senegas J., Galy S., J. Solid State Chem. 1974, 10, 5). С понижением т-ры в структуре наблюдается 2 перехода — при $T_1 \sim 240^\circ\text{K}$ и $T_2 \sim 150^\circ\text{K}$. Переход при T_1 связан с возникновением магнитоупорядоченной Cz^+Fx^+ структуры: при этом в мотиве кристалла ферромагнитные (100) плоскости антиферромагнитно сочленяются попарно и характеризуются направлением спинов вдоль [001].

*Tet**N. 1974
N 23*

В целом магнитная структура может быть описана группой $Pbc'n'$. Интенсивность возникающих при T_1 рефлексов $\{010\}$, $\{030\}$, $\{100\}$ и $\{031\}$ ($h+k=2n-1$) возрастает при понижении температуры от 240 до $4,2^\circ\text{K}$, а интенсивность рефлексов $\{020\}$, $\{021\}$, $\{040\}$, $\{110\}$, $\{111\}$ и $\{150\}$ ($h+k=2n$) возрастает при охлаждении образца от температуры $T_2 \sim 150^\circ\text{K}$. Наблюдаемый при T_2 переход является структурным фазовым переходом 2-го рода: аномалий на кривой $\chi=f(T)$ при этом не наблюдается.

И. Д. Датг

турь
тDиr

1978

FeWO₄
MnWO₄

9 Б687. Физико-химическое исследование зонного распределения в системе гюбнерит—ферберит MnW_4 — $FeWO_4$ в вольфрамовых рудах $Mn_xFe_{1-x}WO_4$ применительно к месторождению Borralha (Португалия). Amosse*. J. Physicochemical study of the hubnerite—ferberite ($MnWO_4$ — $FeWO_4$) zonal distribution in wolframite ($Mn_xFe_{1-x}WO_4$) deposits. Application to the Borralha mine (Portugal). «Phys. und Chem. Miner.», 1978, 3, № 4, 331—341 (англ.)

Энталпия р-reния смеси окислов $FeO+WO_3$ и $MnO+WO_3$, а также тв. р-ров $Mn_xFe_{1-x}WO_4$ в расплаве $LiBO_2-NaBO_2$ определена в высокот-ном калориметре при 940 К. Полученные данные использованы для вычисления ΔH (обр.) тв. р-ров из $FeWO_4$ и

(4Hf)

2/1979/19

MnWO₄. Приведены ΔH (обр., 298 К) в ккал/моль из оксидов FeWO₄ — 17+1,4, Mn_{0,25}Fe_{0,75}WO₄ — 20,9±0,25, Mn_{0,5}Fe_{0,5}WO₄ — 23,96 ± 0,5, Mn_{0,78}Fe_{0,22}WO₄ — 25,35 ± 0,5 и MnWO₄ — 24,8±1,6. Термохим. данные использованы для расчета отношения Mn/Fe в вольфрамите Mn_xFe_{1-x}WO₄ (I). Высокое содержание Mn в I связано с высокими т-рами образования руды из гидротермального р-ра. Быстрое понижение т-ры минер. р-ра приводит к увеличению Mn/Fe. Это отношение не может быть использовано в кач-ве геол. термометра, однако оно является индикатором начала минерализации. Термохим. подход к проблеме зонного распределения при металлогенезе, используемый в диаграммах Эллингхэма, согласуется с полученными данными.

Л. А. Резницкий

Fe₂WO₆

1978

90: 29821n Phase diagram of the iron(III) oxide-tungsten trioxide system. Trumm, A. (Inst. Kristallogr. Mineral., Univ. Muenchen, Munich, Ger.). *Neue Gottsche Mineral. Monatsh.* 1978, (11), 481-4. (Ger). In the system Fe₂O₃-WO₃ at 1 atm of air there only exists the solid solution Fe₂WO₆. The incongruent m.p. is 1156 ± 4 °C. In the partial system of Fe₂WO₆-WO₃ a eutectic point was found at WO₃ 74, Fe₂O₃ 26 mol%. The eutectic temp. is 1051 ± 4°.

(Tin)

C.A. 1979, 90, N4

Fe WC

1978

Uhrumius Bjørn.

probue
probud. Hardenability Concepts
App. Steel Proc. Symp. 1977
(Pub. 1978), 28-81.

cus. Fe Cr C - 1

Fe-W

1979

92: 136308p Correction of the analytical description of the iron-tungsten system. Uhrenius, Bjorn; Kauffman, Larry (Div. Theor. Metall., R. Inst. Technol., S-100 44 Stockholm, 70 Swed.). *CALPHAD: Comput. Coupling Phase Diagrams Thermochem.* 1979, 3(3), 223-4 (Eng). Corrections are given for excess entropy and free energy of Fe-W system (K. and H. Neser, 1975, 1978). The recalcd. phase diagram is given.

przystal
graf.

C.A. 1980. 92, N.16

WC-Fe

1979

Kleykamp H. et al.

разовая
групп.

Atomindex 1979, 10 (1),
Abstr. No 420680.

(euc. Mo_2C -Fe; $\frac{T}{T}$)

1979

Fe_2W
 Fe_{11}W_8
 Fe_2WO_6

90: 128418t Determination of thermodynamic parameters by electrochemical measurements in the system of iron-tungsten-oxygen. Trumm, A.; Schroecke, H. (Inst. Kristallogr. Mineral., Univ. Muenchen, Munich, Ger.). *Neues Jahrb. Mineral., Abh.* 1979, 134(2), 157-66 (Ger). Partial pressures of O over the system Fe-W-O and the free energy of formation of possible phases were detd. electrochem. at 700 and 1050°. Heat capacity, entropy, and heat of formation at 298 K were calcd. for FeWO_4 . Free energy values of Fe_2W , Fe_{11}W_8 , and Fe_2WO_6 were calcd. at 700-1000°.

(46)

C.A. 1979, 90, N16

FeWO₄
MnWO₄

(ΔH_f)

+1

X. 1980
N 22

СУТНИК 9825 1980

22 Б740. Энталпии образования FeWO₄ и MnWO₄ и их твердых растворов. Amosse J., Mathieu J. C. The enthalpies of formation of FeWO₄, MnWO₄ and their solid solutions. «J. Chem. Thermodyn.», 1980, 12, № 7, 683—689 (англ.)

Энталпии р-рения WO₃, FeO и MnO, тв. р-ров FeWO₄ (I) — MnWO₄ (II) определены в высокотемпературном калориметре р-рения в расплаве 0,5LiBO₂+0,5NaBO₂ при 940 К. Из полученных данных вычислены ΔH (обр. 298 К, кдж/моль из окислов) I —77,1±6 и II —103,8±6,7. ΔH (обр.) тв. р-ров описываются уравнением ΔH (кдж/моль)=52,5x²—86,7x—70,5 ($0 < x < 1$), где x — мольная доля II. Соответствующему уравнению кривая асимметрична с минимумом при $x=0,75$. Величина ΔH (обр.) I находится в хорошем согласии с лит. данными, полученными аналогичным методом (Клеппа, —70,3 кдж), однако ΔH (обр.) II более отрицательна, чем значение —77,8 кдж, полученное методом гетерогенравновесий.

Л. А. Резницкий

FeWO₄

1980

MnWO₄

(ΔHf)

✓ 93: 174746h The enthalpies of formation of iron tungstate (FeWO_4), manganese tungstate (MnWO_4), and their solid solutions. Amosse, J.; Mathieu, J. C. (Lab. Thermodyn. Physicochim. Metall., Domaine Univ., 38400 St. Martin d'Hères, Fr.). *J. Chem. Thermodyn.* 1980, 12(7), 683-9 (Eng). The heats of formation were detd. by using a $\text{LiBO}_2(\text{l})-\text{NaBO}_2(\text{l})$ eutectic bath. The std. heats of formation of FeWO_4 and MnWO_4 are -71.1 and -103.8 kJ/mol, resp. The heat of mixing of $\text{MnWO}_4-\text{FeWO}_4$ solid solns. has a large neg. value.

(71) 18

C. A. 1980. 93 n 18

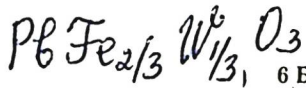
Pb₃Fe₂WO₉

1980

194: 40523v High-temperature anomalies in a lead ferrate tungstate ferromagnetic substance. Ivanova, V. V.; Venetsev, Yu. N. (Nauchno-Issled. Fiz.-Khim. Inst. im. Karpova, Moscow, USSR). *Izv. Akad. Nauk SSSR, Neorg. Mater.* 1980, 16(11), 2073-4 (Russ). The crystal structure, dielec. const., and dielec. loss were detd. of Pb₃Fe₂WO₉ at 273-723 K. Anomalies in the dielec. properties occurred at 493 K and in the structural properties at 373, 438, and 493 K. At 293-373 K, Pb₃Fe₂WO₉ is ferromagnetic, at 373-438 it is antiferromagnetic, and at <438 K it is paramagnetic. The transition at 493 K is ferroelec.

Ttr

C.A. 1981.94,116



1980

6 Б962. Высокотемпературные аномалии у сегнето-
магнетика ферро-вольфрамата свинца. Ивано-
ва В. В., Веневцев Ю. Н. «Изв. АН СССР. Неор-
ган. материалы», 1980, 16, № 11, 2073—2074

Проведены рентгеновские и диэлектрич. исследования
PbFe_{2/3}W_{1/3}O₃ (I) в области т-р выше 20°. Обнаруже-
ны аномалии на зависимости периода элементарной
ячейки a от т-ры при 373, 438 и 493 К и ряд аномалий
на кривых зависимости проницаемости и тангенса угла
потерь от т-ры. До 493 К a меняется ступенчато, выше
493 К линейно растет. В области 293—373 К I нахо-
дится в ферромагнитном состоянии, и скачок a связан
с переходом в антиферромагнитное состояние. В пользу
этого заключения говорит и факт наблюдения сверх-
структурных линий, указывающий на удвоение периода
элементарной ячейки из-за упорядоченного (скорее

1t2

д. 1981. № 6

всего, частичного, размещения катионов Fe и W у образца, синтезированного в атмосфере O_2 . Скачок периода a в области 438 К отвечает второму магнитному переходу, видимо, из антиферро- в парамагнитное состояние. Отсутствие заметного изменения параметра элементарной ячейки от т-ры до 493 К объясняется проявлением электрострикции в этой области, к-рая обычно связана с наличием спонтанно-поляризованного состояния в веществе.

Г. Л. Апарников



Fe_2W
 Fe_3W_2
 FeWO_4
 $\text{Fe}_3\text{W}_3\text{C}$

(Δf)

OCIM UCR 9995
BP-XVII - 8117

1980

93: 102262z Thermodynamics of the iron-tungsten, iron-tungsten-oxygen, and iron-tungsten-carbon systems. Kleykamp, H. (Inst. Mater. Festkoerperforsch., Kernforschungszent. Karlsruhe, 7500 Karlsruhe, Fed. Rep. Ger.). *J. Less-Common Met.* 1980, 71(1), 127-34 (Ger). The Gibbs energies of formation at 1180-1330K of the intermetallic phases Fe_2W and Fe_3W_2 existing in the Fe-W system and of the ternary oxide FeWO_4 in the Fe-W-O system were detd. by e.m.f. measurements on solid galvanic cells with a ThO_2 electrolyte. The Gibbs energy of formation at 1300K of the ternary carbide $\text{Fe}_3\text{W}_3\text{C}$ (η phase) in the Fe-W-C system was estd. by using the exptl. results and isothermal sections of the phase diagram.

P.A. 1980, 93 n10

Fe_2W

Fe_3W_2

$\text{Fe}_3\text{W}_3\text{C}$

FeWO_4

Δf_f $\frac{1}{2}$

X. 1980
N 22

документ 9995

1980

22 Б741. К термодинамике систем Fe—W, Fe—W—O и Fe—W—C. Kleukamp H. Zur thermodynamik in den systemen Fe—W, Fe—W—O und Fe—W—C. «J. Less-Common Metals», 1980, 71, № 1, 127—134 (нем.; рез. англ.)

Термодинамические св-ва фаз Fe_2W (I), Fe_3W_2 (II), $\text{Fe}_3\text{W}_3\text{C}$ (III) и FeWO_4 (IV) определены методом э. д. с. с тв. O^{2-} -ионным электролитом (ТЭ). $\text{ThO}_2/\text{Y}_2\text{O}_3$ в интервале 900—1000°. Применялись гальванич. элементы $\alpha\text{-Fe}_{1-x}\text{W}_x$, I, IV/ТЭ/ $\text{Fe}_{0.95}\text{O}$, Fe, I, II, IV/ТЭ/ $\text{Fe}_{0.95}\text{O}$, Fe, II, IV/ТЭ/ $\text{Fe}_{0.95}\text{O}$, Fe, в к-рых протекают потенциалобразующие р-ции $1,021 \quad \text{I} + 4\text{Fe}_{0.95}\text{O} = \text{IV} + 1,064\text{Fe}_{0.98}\text{W}_{0.02} + 3,8\text{Fe}$, $\text{II} + 4\text{Fe}_{0.95}\text{O} = \text{I} + \text{IV} + 3,8\text{Fe}$ и $\text{II} + \text{W} + 12\text{Fe}_{0.95}\text{O} = 3\text{IV} + 11,4\text{Fe}$. Получены ΔG (обр., дж/моль, 1180—1330 K) I — 280— $3,75T \pm 570$, II 5830— $11,07T \pm 910$, III — 76 000+31 000 и IV — 1 138 200+ $+299,2T \pm 2200$. Оценка ΔG III (η -фаза) проведена при 1300 K на основании диаграммы состояния системы Fe—W—C и величин ΔG (обр.) карбидов Fe и W в этой системе.

П. А. Резницкий

31/7
БГУ - ХХХ/11-

$Fe_{59-x}W_5B_x$

1980

9 Б667. Термическая стабильность и магнитные свойства металлических стекол $Fe_{59-x}W_5B_x$. Nielsen H. J. V. Thermal stability and magnetic properties of $Fe_{95-x}W_5B_x$ metallic glasses. «Phys. status solidi», 1980, A61, № 2, K111—K116 (англ.)

Для аморф. лент ферромагнитных сплавов $Fe_{95-x}W_5B_x$ с $x=15, 20, 25$, полученных методом роллинга, исследованы термич. стабильность, т-ры Кюри, коэрцитивная сила и электросопротивление. Аморфность сплавов контролировалась рентгенографически. Т-ры Кюри измерены индукц. методом, а электропроводность — станд. 4-зондовым методом. Установлено, что увеличение x приводит к повышению т-ры Кюри T_c от 410 ± 13 до 547 ± 6 К и т-ры кристаллизации T_{cr} — от 728 до 834 К. Электросопротивление при этом возрастает от 1,15 до 1,32 мкОм. ·м, а коэрцитивная сила составляет: на частоте 0,5 Гц 7,2, 10 и 7,5 А/м, а на частоте 50 Гц 15, 17 и 17 А/м соотв. при $x=15, 20$ и 25. Полученные данные сопоставлены с известными для др. аморфных сплавов типа FeMB, где M — переходный металл. В. М. Новоторцев

Tr

1981/19

Fe - W

1980

Ulrikenes Bjørn

grav.
grup.

CHENG: Compact Coupling
Phase Diagrams Thermoelectric
1980, 4/3), 173-91

corr. Fe-C-T

Fe₂(WO₄)₃

1982

7 Б1080. Проводящий переход в вольфрамате желе-
за. Conductivity transition in ferric tungstate. Тен па-
кое Kirthi, Dharmaratna Welathant-
гi G. D. «J. Chem. Soc. Faraday Trans.», 1982, Part 2,
78, № 10, 1699—1703 (англ.)

В диапазоне т-р 20—200° С определена электропро-
водность ρ поликрист. порошка $\text{Fe}_2(\text{WO}_4)_3$ (отклонение
от стехиометрии не более $\pm 0,2\%$), упакованного в стек-
лянной трубке между угольными Э при давл. 1 МПа.
Обнаружен переход из полупроводникового состояния
в металлич. фазу. На переход влияет как т-ра, так и
плотность тока. Крист. градиент Пт, при к-ром переход
происходит, прогрессивно уменьшается с ростом т-ры.
При $T_c = 182^\circ \text{C}$ переход наблюдается при нулевом гра-
диенте поля. Переход сопровождается гистерезисом как
по т-ре, так и по Пт. Изменение ρ в полупроводниковой
фазе можно вычислить по ур-нию $\rho = \rho_0 \exp(E/kT)$, где
 $\rho_0 = 1,8 \cdot 10^{-2}$ ом·м и активац. энергия $E = 0,35$ эВ. В ме-
таллич. фазе ρ составило величину $2,8 \cdot 10^{-2}$ ом·м. На
эксперим. значения ρ сильно влияет и способ приготов-
ления образца, т. е. методика осаждения из водн. рас-
твора.

Tc

X. 1983, 19,

N 7

В. А. Студеников

Fe-W

1983

phys. phys.

/100: 57482w A thermodynamic evaluation of the iron-tungsten system. Andersson, Jan Olof; Gustafson, Per (Div. Phys. Metall., R. Inst. Technol., S-100 44 Stockholm, Swed.). CALPHAD: Comput. Coupling Phase Diagrams Thermochem. 1983, 7(4), 317-26 (Eng). A new evaluation of the Fe-W system was made by using a magnetic multi-sublattice subregular model. A set of parameter values describing the Gibbs energy of each individual phase is given. The treatment of the μ phase is based on a 3 sublattice model.

C.A. 1984, 100, 118

Fe-W

1983

9 E534. Термодинамический расчет системы железо — вольфрам. A thermodynamic evaluation of the iron — tungsten system. Andersson Jan-Olof, Gustafson Reg. «CALPHAD», 1983, 7, № 4, 317—326 (англ.)

На основании термодинамич. модели фаз с несколькими подрешетками с учетом магн. вклада в энергию Гиббса получены ф-лы для расчета ΔG феррита, аустенита и жидких растворов Fe—W. Промеж. фазы (μ -фаза и фаза Лавеса) описаны с помощью трех- и двухподрешеточных моделей соответственно; σ -фаза — метастабильна, ее параметры не оценивались. С использованием параметров субрегулярных растворов проведена процедура оптимизации, заключающаяся в минимизации отклонений экспериментальных и рассчитанных значений точек трехфазных равновесий при 1823 и 1910 К. Рассчитанные линии фазовых равновесий хорошо согласуются с полученными экспериментально. Дан анализ общих черт и различий в диаграммах состояния систем Fe—W и Fe—Mo. Библ. 32.

А. И. Зайцев

термодинам.
расчет

phi. 1984, 18, N 9

Fe_3W_3C

1984

Преиг М.Х., Конодов

Ю.И.

Узб. вузов. химии и
хим. технологии, 1984, 24,
N1, 102-111.

(см. Fe_3Mo_3C ; I)

FeWO_4

[oček. 18981]

1984

Казаков Д.С., Тере-
несса А.Н.

$\Delta f H$,
расчт.

Изб. АН СССР. Неопр.

Материалы, 1984, 20,
N 4, ● 653-658.

FeWO₄

1984

Резникович А. А.,
Румянцова О. Е.

ΔH_f ; Узб. АН СССР. Геопрн.

Материалы, 1984, № 20,

NII, 1931 - 1932.

(см. Mg WO₄; I)

W-Fe
(Creighton)

1984

OK mix.

100: 195938a Knudsen cell mass spectrometric study of the thermodynamic properties of iron-tungsten alloys. Ueshima, Yoshiyuki; Yamana, Hisashi; Sugiyama, Toyoko; Ichise, Eiji (Grad. Sch., Kyoto Univ., Kyoto, Japan). *Tetsu to Hagane* 1984, 70(6), 549-56 (Japan). High temp. thermodn. properties of Fe-W alloys were studied by using Knudsen cell mass spectrometer. As this alloy system has only single volatile component, the internal std. method was utilized to obtain activities in alloys. By taking advantage of high m.p. of Fe-W alloys, Fe was used as the std. The effect of the height of sample surface in the cell on the ion Intensity was taken into consideration. Samples were melted and solidified preliminarily in a Knudsen cell before each run, and then Fe foil was placed on the sample surface so that the change in the height of sample surface in the cell on melting during the measurement was minimized. Activities and free energy and enthalpy of mixing were derived at 1873 and 1773 K. Values for the activities of Fe-Mo alloys were revised on the basis of the present knowledge about the influence of the height of sample surface on the ion intensity.

C.A. 1984, 100, N24

FeWO₄

[Om. 35949]

1984

Мугукола А.П., Когакоб-
(P, SHF) ский У.А.,
оп. 145-156

(Труды Новосиб. ин-та геологии)
физико-химическое моделирование
перегородки в рудообразовании
Новосибирск, 113-й Награда, 1984г.

C-Fe-W

1987

106: 202635d : A thermodynamic evaluation of the carbon-iron-tungsten system. Gustafson, Per. (Div. Phys. Metall., R. Inst. Technol., S-100 44 Stockholm, Swed.). *Metall. Trans. A* 1987, 18A(2), 175-88 (Eng). A new evaluation of the C-Fe-W system was made by using a magnetic two-sublattice subregular model for the interstitial soln. phases, a multi-sublattice model for intermetallic phases and ternary carbides, and an ordinary subregular soln. model for the liq. phase. A set of parameters describing the Gibbs energy of each phase is given.

(mepmog ;)
18

c. A. 1987, 106, N24

$\text{AgFe}(\text{WO}_4)_2$

1988

Киселев О. В.
Перепалкин А. Г.

6 Всес. собр. по химии и
технол. исследований и
вопросов, Наука, 13-
 T_{tr} ; 15 сен. 1988; № 13-
научн., 1988, с. 80.

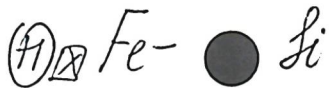
(есм. № 12 $\text{Ag}(\text{WO}_4)_2$; I)

Fe-W

1988

109: 62213z Thermodynamic properties of liquid iron-tungsten-silicon alloys. Sudavtsova, V. S.; Kurach, V. P.; Mar'yanchik, N. N.; Batalin, G. I. (Kiev, USSR). *Izv. Akad. Nauk SSSR, Met.* 1988, (3), 61-2 (Russ). Isothermal calorimetry was used to study the liq. Fe-W-Si alloys. Partial and integral heats of mixing were detd. for Fe-W and Fe-Si and the ternary systems.

($\Delta_{\text{mix}} H$)



C.A. 1988, 109, n 8

Fe-C-W

1989

111: 161439a · Calculation of the iron-carbon-niobium ternary phase diagram. Ohtani, H.; Hasebe, M.; Nishizawa, T. (Fac. Eng., Tohoku Univ., Sendai, Japan). *CALPHAD: Comput. Coupling Phase Diagrams Thermochem.* 1989, 13(2), 183-204 (Eng). Phase equil. in the Fe-rich portion of the Fe-C-Nb ternary system were analyzed on the basis of exptl. and thermodn. data. The Gibbs energy of the Nb-carbide and soln. phases was approximated by the two-sublattice model, being sepd. into the paramagnetic and ferromagnetic terms. In particular, the two phase equil. between austenite and cubic Nb-carbide was treated as a portion of the miscibility gap in the fcc, Fe-C-Nb phase. The calcd. phase boundary of austenite in equil. with the Nb-carbide showed a characteristic shape, as was the case in the Fe-C-Ti system.

Phys.-Mater.

C.A. 1989, 11, N 18

WFe_x

1989

Sudavtsova V. S.,

Kurach V. P. et al.

Izv. Akad Nauk SSSR,
Met. 1989, (5), 204 - 5.

ΔH_f

(crys. TaFe_x ; ?)

[FeWO₄Cl]

1991

1B17. Синтез и структурный анализ нового слоистого соединения [FeWO₄Cl]. Synthesis and structural analysis of the new layered compound [FeWO₄Cl] / Choy Jin-Ho, Noh Dong-Youn, Park Hyung-Ho, Park Jeong-Chul // J. Chem. Soc. Dalton Trans.— 1991.— № 6.— С. 1647—1648.— Англ.

Синтез
и
структурный
анализ

Соединение состава [FeWO₄Cl] (**I**) получено транспортной р-цией из смеси WO₃, Fe₂O₃ и небольшого избытка FeCl₃ (в кач-ве реагента и транспортного агента) при мол. отношении 3 : 1 : 1,05 и нагревании в закрытой кварцевой трубе до 420° С в течение 30 суток. Выполнен РСТА **I** (структура решена по 29 отражениям и уточнена до $R=0,06$). Жел. пластинчатые кристаллы **I** тетрагон., a 6,677(5), c 5,270(5) Å, ρ (расч.) 4,79 г/см³, $Z=2$, пр. гр. P4/nmm. Обсуждены особенности строения **I**, полученные результаты сопоставлены с данными для родственных соединений.

X. 1992, № 1

Fe WO_4
 $\text{Fe}_2 \text{WO}_6$

1993

119: 16119g Determination of standard Gibbs energies of formation of iron tungsten oxide (FeWO_4 and Fe_2WO_6) by electromotive force measurement. Koyama, Koichiro; Harada, Tomohiro (Fac. Eng., Himeji Inst. Technol., Himeji, Japan 671-22). *Funtai oyobi Funmatsu Yakin* 1993, 40(2), 223-7 (Japan). The std. Gibbs free energies of formation of FeWO_4 and Fe_2WO_6 were detd. between 1123 and 1273K using galvanic cells contg. oxide solid electrolytes. The free energies of formation of FeWO_4 were $-1184300 + 357.6T \pm 200$ and $-1184300 + 357.4T \pm 200$ J/mol. at 1 bar and 1 atm.; resp. For Fe_2WO_6 , the results were $-1651900 + 516.1T \pm 300$ and $-1651900 + 516.8T \pm 300$ and 1 bar and 1 atm., resp.

$\Delta_f f^\circ$,

(1123-1273K)

C-A. 1993, 119, N 2

Fe_2WO_6

1994

Walczak J., Rychlowska
Himmel J.

газобак

Termochim. acta.

жаропакка

1994. 239. C. 269 -

274.

(cer. FeVO_4 ; \bar{i})

Fe - W

100%

135: 64865z Thermodynamic properties of Fe-Nb(Ta, W) and Fe-Nb(Ta, W)-Al melts. Sudavtsova, V. S.; Vovkotrub, N. E.; Kudin, V. G. (Kiev, Ukraine). *Metally* 2001, (2), 18-20 (Russ), TOO NPP "ELIZ". The activity of components in liq. alloys of binary Fe-Nb(Ta,W) systems was studied by emf. technique within the $0.85 < x_{Fe} < 1.0$ concn. range at 1854, 1843, and 1870 K. Thermochem. properties were examd. at 1900 K by calorimetry and calcd. by the Bonnier method in order to assess the interaction energy of Fe-W and Fe-W-Al alloys. The addn. of Al to the Fe melts was shown to cause changes of the mixing enthalpies to increasing exothermal effects of alloy formation.

Reflux
at - 10